

МИНИСТЕРСТВО ГЕОЛОГИИ СССР
МИНИСТЕРСТВО ГЕОЛОГИИ РСФСР
ЯКУТСКОЕ ОРДЕНА ЛЕНИНА ПРОИЗВОДСТВЕННОЕ
ГЕОЛОГИЧЕСКОЕ ОБЪЕДИНЕНИЕ

Уч. № 01

СЕКРЕТНО

Экз. № 072

ГОСУДАРСТВЕННАЯ
ГЕОЛОГИЧЕСКАЯ
КАРТА СССР

МАСШТАБА 1:200 000

СЕРИЯ ВЕРХНЕВИЛЮЙСКАЯ

Лист Р-50-ХХ

Объяснительная записка

Составитель А.С. Зарубин
Редактор В.М. Олешко

Утверждено Научно-редакционным советом ВСЕГЕИ
24 марта 1972 г., протокол № 9

МОСКВА 1984

О ГЛАВЛЕНИЕ

Стр.

Введение	5
Геологическая изученность	6
Стратиграфия	II
Интрузивные образования	20
Тектоника	21
Геоморфология	29
Полезные ископаемые	31
Оценка перспектив района	32
Подземные воды	33
Литература	35
Приложения	39

РАЗРАБОТКА РАЙОНА
СЕВЕРНОГО КОМПЛЕКСА
СЕВЕРНОГО КОМПЛЕКСА

РАЗРАБОТКА РАЙОНА

7-85-9 лист

ВЫПУСК ПЕДАГОГИЧЕСКОЙ ТЕХНИКИ

издательство Университета
имени С. Г. Тихомирова1952 г. выпуск подготовленный комиссией
в Академии наук СССР

также известны за Красногорск 10 км, лежат в междуречье реки Киржач и реки Каменки в южной части района. Длина реки от устья до устья р. Киржача составляет 12 км, в среднем расход воды в реке 10 л/сек. Каменка имеет длину 12 км, расход воды 10 л/сек. На Киржаче имеются 2 мелкие плотины.

На реке Киржач имеет северную, южную и западную ветви, впадающие в реку Киржач, в бассейне которых расположены 10 озёр, длины озёр составляют 1000 м, глубина озёр от 7-8 м до 10-12 м. Длина реки Каменки составляет от 1,5 км до 1,5-2 км. Длина реки Каменка в районе села Киржач составляет 1 км, глубина реки в селе Киржач.

На территории района имеются 80 торфяных месторождений, расположенных в южной части района. Самое большое место торфяных месторождений лежит на 1,5-2 км северо-западнее села Киржач и имеет длину 8 км.

Лежат торфяные месторождения в пойменной зоне реки Киржач, на берегах реки Каменки, в долине реки Киржач.

ВВЕДЕНИЕ

Территория листа, ограниченная координатами $61^{\circ}20' - 62^{\circ}00'$ с.ш. и $115^{\circ}00' - 116^{\circ}00'$ в.д., расположена на Лено-Вильйском водоразделе в пределах Сунтарского и Ленского районов ЯССР.

В орографическом отношении эта территория является частью Приленской плоской возвышенности, расчлененной долинами притоков рек Ини и Вилья. Для всего района характерно пологое понижение поверхности рельефа с юга на север. Максимальные высоты водоразделов на юге составляют 412 м, на севере 316 м. Относительные превышения убывают также с юга на север. На юге они достигают 150-170 м, на севере едва превышают 80 м.

Наиболее крупными реками на территории листа являются Бетинчан и Вильйчан с многочисленными притоками. Река Бетинчан в пределах площади листа на протяжении 55 км течет в меридиональном направлении с севера на юг. Широкая долина ее с пологими склонами часто заболочена. Ширина русла от 2-3 м в верховых увеличивается до 12-15 м в среднем течении в районе р. Тайон-Уата. Глубина в межень от 0,2 м на перекатах до 2 м на плясах.

Второй крупной рекой является р. Вильйчан, текущая в верховьях в широтном направлении, а затем изменяет направление на меридиональное на протяжении 40 км. Долина реки сильно заболочена. Ширина русла от 1-2 м до 5-10 м. Глубина реки в межень колеблется от 0,2 м до 1,5-2 м. Скорость течения меняется от 1,3 м до 0,02-0,3 м/с. Воскрытие рек происходит в конце мая, ледостав наступает в начале октября.

На территории листа имеется множество термокарстовых озер, наиболее крупным является Тылллах, расположенное в долине р. Инах-Юрях. Озера втянуты яйцом долин рек и имеют длину до 1,5-2 км и ширину до 0,6 км. Глубина озер достигает 5 м.

Климат района резко континентальный с продолжительной сухой зимой и коротким, но жарким летом. По данным метеостан-

ции Быйттах, среднегодовая температура здесь -7° . Абсолютный минимум температур замой достигает -60° , абсолютный максимум летом $+32^{\circ}$. Среднегодовое количество осадков составляет 237,5 мм, большая их часть приходится на летние месяцы. Снежный покров в районе устанавливается в конце сентября и сходит в конце апреля - начале мая. Толщина снегового покрова обычно не превышает 1 м.

В пределах территории листа сплошным развитием пользуется многолетняя мерзлота, мощность которой достигает 200-250 м (по данным бурения скважин на Мурбайской площади, расположенной юго-западнее рассматриваемой территории). Мощность сезонно-протягивающего слоя зависит от различных факторов - экспозиции склона, характера почв, растительности и изменяется от 0,5 до 3 м.

Район силошь покрыт тайгой, в составе которой преобладает дауровка лиственница. В подчиненном количестве по долинам рек встречается ель, ольха, береза, а на водоразделах сосна, кедр, осина. Все долины рек и ручьев покрыты зарослями ерика.

Животный мир района довольно разнообразен. Из хищных животных здесь встречаются медведи, волки, лисицы. Основными представителями копытных являются лось, олень; из грызунов - белка, бурундук, зайцы, различные виды мышей. Мир пернатых представлен боровой дичью (глухари, рабочки, куropатки), водоплавающими (различные виды уток, гагары). В крупных реках водится щука, окунь, ленок и др.

На территории листа населенные пункты отсутствуют. Ближайшим населенным пунктом является пос. Куоккуну, расположенный на правом берегу р. Видей в 21 км к северо-востоку от северной границы района. Транспортные пути на территории листа отсутствуют. По долинам крупных рек имеются лишь редкие тропы, пригодные только для вычного транспорта.

ГЕОЛОГИЧЕСКАЯ ИЗУЧЕННОСТЬ

Геологические исследования в бассейне рек Лены и Видей до начала XX в. проводились не систематически и сводились к описанию путевых наблюдений. С 1912 по 1917 г. в этом районе проводили исследования А. Г. Ржонницкий, установивший в общих чертах геологическое строение западной части Видейской впадины /17/. Он впервые выделил здесь кембрийские и силурийские осадки, разделил иркутскую толщу на лейасовые пресноводные отложения, морские образования нижнего дологера и пресноводные верхней юры. Это

расчленение в общем виде не потеряло значения до наших дней.

В 1924 и 1930 гг. в бассейне р. Видей В. Н. Зверев и Е. С. Бобин подтвердили трехчленное деление толщи иркутских отложений, предложенное А. Г. Ржонницким. Они впервые отметили, что свита базальных мезозойских отложений сохраняется неповсеместно и местами начинается толщей охристых песков, переходящих в бурые конгломераты.

В 1933 г. маршрутные исследования по р. Ния произвел Д. К. Зебгард, который выделил отложения нижнего, среднего и верхнего кембрия и три комплекса силурийских отложений /5/.

В 1949 г. Г. Х. Файнштейн /46/ проводил маршрутные исследования в бассейне р. Видей, в результате которых была установлена на промышленной алмазносность многих кос р. Видей. Автором в основании иркутских отложений была выделена "оранжевая свита", возраст которой датировался как $T_s - J_1$. Вышележание отложения нижней при на основании литологического состава им были разделены на две свиты: конгломератовую и марказитовую. Впоследствии (1950 г.) А. А. Арсеньев и А. Б. Иванов отнесли нижнюю часть оранжевой свиты к верхнему силуру, а верхнюю часть включили в нижнюю континентальную свиту юры под названием эмъянинского горизонта. В вышележащих укуутгусских горизонтах авторы обединили конгломератовую и марказитовую свиты Г. Х. Файнштейна. Авторы также указали на наличие перерыва в осадконакоплении между эмъянинским и укуутгусским горизонтами внутри выделенной ими нижней континентальной свиты юры. Таким образом, ими отрицается существование в основании разреза мезозой самостоятельной свиты, на которой несогласно залегают нижнерусские осадки, тогда как другие исследователи (Бердичевская, 1951 г.) разделяют мнение Г. Х. Файнштейна о присутствии в основании мезозоя такой юрской свиты.

В 1949 г. начинается систематическое изучение геологического строения бассейна среднего течения рек Видей и Лены; широко развертываются геодетско-геоморфологические и поисковые работы партий Амакинской экспедиции, Геологического института АН СССР, Всесоюзного аэрогеологического треста и целого ряда других организаций. Их работы в значительной степени уточнили существовавшие представления о геологическом строении и полезных ископаемых района.

В 1950-1951 гг. О. И. Никифорова, Е. А. Разумовская и О. Н. Андреева изучали разрезы ордовика и силура западной окраины Лено-Видейской впадины /12, 13, 37/. В районе среднего течения р. Видей в отложениях ордовика они выделили три свиты: устькутскую мощностью 100 м, криволуцкую мощностью 250-300 м (условно отне-

сена к среднему и верхнему ордовику) и мейкскую свиту, отнесенную к переходному возрасту от ордовика к силуру (мощность 100 м).

В 1950 г. З.А.Дурдялова /31, 32/ совершила маршрут от устья до среднего течения р.Видычан, в результате которого дана описание верхней части верхнесилурских отложений, в которых отметила прослой "опоковидной" породы. Позднее Н.М.Чумаков установил, что это витроцластические туфы видичанской свиты.

В 1951 г. в пределах листа Р-50 геологическая съемка масштаба 1:1 000 000 выполнила партия Видийской аэрогеологической экспедиции под руководством В.В.Белова. В среднем течении р.Видычан между силурскими и прокомпактованными им был выделен комплекс пород условно триасового возраста, в основном соответствующий "оранжевой" свите (T_3-J_1), выделенной Г.Х.Файнштейном в 1949 г. Эти исследователи объединили в одну свиту разновозрастные отложения (амбакинский горизонт и видичанскую свиту А.А.Аросеньева).

В 1954 г. в бассейне среднего течения р.Видычан тематические работы проводили Е.И.Корнугова, Ф.Ф.Вильсон, Н.А.Разаренова и др. /33/. Они придерживались стратиграфической схемы О.И.Никифоровой и А.А.Аросеньева. Авторами впервые на этой территории выделена чуньская свита на основании находок в отложениях верхов нижнего ордовика комплекса фауны, типичного для пород чуньской свиты.

В этом же году В.А.Комар // изучала стратиграфию и текtonику района нижнего течения р.Видычан. Большинство свит, выделенных ранее по литологии, в результате ее работ получило палеонтологическую характеристику, что позволило уточнить их границы и более уверенно сопоставить этот разрез с разрезами других районов.

В 1955 г. О.И.Никифорова на основании проведенных сотрудниками ВСЕГЕИ (1950-1955 гг.) исследований впервые разработала фаунистически охарактеризованную стратиграфическую схему ордовиковых и силурских отложений для всей территории Сибирской платформы. Эта схема не утратила значения до настоящего времени. Выделенные ранее в ордовике платформы пять свит О.И.Никифорова предложила считать ярусами, основываясь на том, что какая из свит занимает определенное стратиграфическое положение в разрезе, является частью отдельного и характеризуется неповторяющимся комплексом фауны, соответствующим по своей значимости понятию яруса. В составе ордовика и силура О.И.Никифорова выделяет следующие ярусы: устькутский ярус (O_1^1), чуньский ярус (O_1^2),

крайподущий ярус (O_2^1), мангазейский ярус (O_2^2), долборский ярус (O_3), ландоверский ярус (S_1^1), венлокский ярус (S_1^2), нижнедувловский ярус (S_2). Таким образом, ордовиковые отложения юга Сибирской платформы представлены всеми тремя отделами: нижним, средним и верхним.

Большое значение для изучения геологического строения западной части Видийской синеклизы, Предбайкальского прогиба и Патомского нагорья имеют работы Н.М.Чумакова (1956-1959 гг.). В пределах западной части Видийской синеклизы им совместно с В.А.Комар // установлены ранее не отмечавшиеся отложения среднего и верхнего палеозоя. Проведена большая работа по составлению и увязке разрезов Патомского комплекса, что в значительной мере способствовало выяснению их взаимоотношений в пределах Патомского нагорья и Уринского антиклиниория. Н.М.Чумаковым по-новому решается вопрос о взаимоотношениях Видийской синеклизы и Байкальской складчатой области, которая, по его мнению, не продолжается в Видийскую синеклизу, как это предполагали А.Д.Архангельский (1941), Н.С.Шатский (1932) // и др., а лишь образует в ее обрамлении входящий Патомский угол. В пределы Видийской синеклизы продолжается связанный с ним поперечная краевая система, названная автором Западно-Видийской, в которую он включал Сунтарское поднятие, Уринский антиклиниорий и Кемпендейскую впадину.

В 1957 г. Б.В.Бабушкин и Т.С.Кутузова // произвели аэромагнитную съемку масштаба 1:200 000 в западной части Видийской синеклизы. Эти работы дали дополнительный материал для изучения тектонического строения и выявления областей, перспективных на алмазы. Прослежена далее на юг и север и оконтуриена ранее рекомендованная перспективная в отношении губобурных зон разломов в осадочной толще.

В 1958 г. вышла в свет геологическая карта СССР масштаба 1:500 000 бассейна р.Видя и Олененско-Видийского водораздела под редакцией Е.И.Корнуговой, И.И.Краснова и В.Л.Масайтиса //, которая по сравнению с ранее изданными обзорными картами дает более детальное представление о геологическом строении значительной части территории Сибирской платформы, что дало возможность использовать ее при изучении и выявлении перспектив нефтегазоносности и соленосности Видийского бассейна. Геологическая карта широко использовалась при поисках кимберлитовых трубок и при решении ряда проблем, связанных с изучением металлогенических и минералогических трапповой формации.

В 1958 г. под руководством Б.И.Страхова /42/ проводились комплексные геофизические работы, в результате которых был выявлен ряд магнитных аномалий трубчатого типа. В 1960 г. на одной из таких аномалий в долине р.Бай-Бес (левый приток р.Видячан), Ботубинской экспедицией была пробурена скважина глубиной 96,2м, которая вскрыла изверженные породы основного состава.

В 1960 г. территория листа была покрыта геологической съемкой масштаба 1:200 000, проведенной В.К.Смоляковым. В отчете по этим работам, написанным А.И.Ушаковым, изложены новые данные о геологическом строении этой территории. В частности, было доказано отсутствие отложений среднего кембрия и морских осадков средне-верхнего лейаса, значительно уточнено строение Киш-Балаганахской и Бетинченской антиклинальных складок.

На площадях, примыкающих с востока и юга к территории листа, в 1961-1962 гг. проводилась комплексная геологическая съемка масштаба 1:200 000 с целью подготовки к изданию листов Государственной геологической карты /39/. В отчете по этим работам авторы приводят новые данные по геологическому строению засыпной территории. Ими значительно изменены геологические границы распространения ордовикских и силурийских отложений, уточнены границы икугутской и морской свит нижней юры. На основании находок фауны в морской свите выделены отложения тоарского и домерского ярусов.

В 1963 г. Верхне-Джербинская партия под руководством Б.М.Андрусенко /21/ проводила гравиметрическую съемку масштаба 1:200 000 в восточной части Нойской, Березовской впадин и Уринского антиклиниория. Для Нойской впадины было установлено понижение интенсивности гравитационного поля в сторону Байкала с большими градиентами и рядом ступеней восток-северо-восточного простирания. Кроме того, по двум глубинным разломам Нойская впадина оказалась разбитой на три блока: Нойский, Хотогоский и Улугурский. Эта же партия провела более детальную гравиметрическую съемку на Мурбайской антиклинали. Складка отразилась в гравитационном поле в виде слабой положительной аномалии. При этом в ряде мест в осевой части антиклинали были получены хорошо выраженные отрицательные аномалии округлой формы.

В течение последних лет (1962-1965 гг.) в пределах Мурбайского поднятия проводилось структурно-картировочное бурение с целью подготовки структур для глубокого разведочного бурения. В результате этих работ было уточнено строение Мурбайской структуры в целом и выявлен ряд осложняющих ее локальных куполов /47/.

В разрезе кембрийских отложений отмечены пачки глинистых пород и пласти соли, могущие служить надежными покровами при формировании залежей нефти и газа. Возраст выделенных в разрезе кембрия свит подтверждается многочисленной фауной. В заключении автор рекомендует две точки для заложения глубокой разведочной скважины.

В 1968-1969 гг. на территории листа и соседних с ним площадях были проведены сейсморазведочные работы /36/. На основании полученных данных с присоединением материалов ранее проведенных геофизических исследований площадь разделена в тектоническом отношении на две различные по строению части - восточную и западную. В пределах западной установлено наличие относительно приподнятой Средне-Ботубинской зоны, включющей несколько локальных структур. Уточнены структурные планы Верхне-Видячанской и частично Иктяхской структур и Юргинского структурного выступа. В 1970 г. западнее территории листа на Средне-Ботубинском поднятии была пробурена глубокая разведочная скважина, давшая промышленный фонтан газа из нижнекембрийских отложений. В настоящее время в этом районе продолжается бурение второй глубокой скважины.

В 1964 г. А.С.Зарубином на территории листа были проведены редакционно-увязочные маршруты, в результате которых уточнено его геологическое строение. Произведена увязка геологической карты с соседними площадями, значительно изменены геологические границы.

В качестве основного материала при составлении листа использованы данные геологической съемки масштаба 1:200 000, выполненной в 1960 г. В.К.Смоляковым. Кроме того, использованы геофизические исследования и аэрофотоматериалы.

Объяснительная записка и геологическая карта составлены в Центральной геологосъемочной экспедиции Якутского геологического управления.

СТРАТИГРАФИЯ

В геологическом строении территории листа принимают участие отложения кембрийской, ордовикской, юрской и четвертичной систем. Расчленение отложений произведено в соответствии с легендой Верхневилайской серии листов геологической карты СССР масштаба 1:200 000.

КЕМБРИЙСКАЯ СИСТЕМА

Нижний отдел

Ленский ярус

Отложения чарской свиты (Θ_1 , Θ_2) обнажаются на юге территории листа в долине р. Бетиче и на водоразделе рек Тас-Юрях и Куталах, где они слагают ядра антиклинальных складок.

Свита представлена известняками и доломитовыми известняками, с подчиненными прослоями доломитов и брекчированными известняками. Известняки серые, коричневато-серые, часто пятнистые, массивные, реже встречаются горизонтальнослоистые разности. Часто известняки содержат кремень в виде линзовидных прослоев и включений неправильной формы. Известняки мелкозернистые, сложены полигональными, реже неправильными зернами кальцита размером 0,01–0,1 мм с включением кремния раскристаллизованного в различной степени.

Доломит желтовато-серые и серые, массивные и слоистые, пятнистые, кальцитизированные, иногда трещиноватые. Основная масса сложена ромбоэдрическими зернами доломита размером 0,05–0,1 мм. В породе присутствует пелитовый материал (до 5%) и единичные зерна рудного минерала.

Брекчированные известняки состоят из обломков мелкокристаллического известняка, сцепментированных карбонатным цементом. Размер обломков 0,3–3 мм. Форма обломков неправильная, от округлой до угловатой. Вокруг обломков отмечается оторочка чистого крупнокристаллического кальцита.

На соединении с запада территории (лист Р-50-XIX) отложения чарской свиты были вскрыты колонковой скв. № 2 на полную мощность (240 м). Литологический состав вскрытых скважиной пород мало чем отличается от описанного выше. Представлены они также как и на описываемой территории известняками светло-серыми, серыми и коричневато-серыми с подчиненными прослоями желтовато-серых, серых доломитов и брекчированных известняков. В основании свиты здесь залегает 3-метровый слой брекчированных известняков, по подошве которого проводится нижняя граница свиты. Обобщенный разрез отложений по скважине имеет следующий вид:

I. Известняки темно-серые, с линзами и прослоями кремней. Породы сильно кавернозны. Размер каверн 3–8 см 10–12 м

2. Брекчи, состоящие из обломков пятнистых известняков размером 4–5 см 10–15 м

3. Пересядывание доломитов, доломитистых известняков и известняков серых, светло-серых, иногда белесых, мелко- и среднезернистых, массивных. Породы трещиноватые и кавернозные, реже окремненные 60 "

4. Известники серые, темно-серые, часто пятнистые, мелкозернистые до пелитоморфных, массивные, крепкие, иногда окремненные. Наблюдаются кавернозные разности с размером каверн до 3 см в диаметре. 70 "

5. Известники серые брекчированые. Размер обломков 5–8 см. По трещинам отмечается кальцит 10 "

6. Известники серые и светло-серые, мелкозернистые и пелитоморфные, массивные, иногда окремненные. Отмечается кавернозные разности размером 1–2 см 60 "

7. Брекчи, состоящие из обломков известняков размером 1–2 см, связанных карбонатным цементом 2–4 "

Возраст вскрытых скважиной отложений подтверждается фауной тридцатых и брахиопод: *Parapolyteles obvrtchevi* Lerm., *Pseudoteraspis aldanensis* N. Tscherg., *Namanoia namanensis* Lerm. и *Kutorgina* sp. (определение Н.П.Суворовой).

В пределах территории листа в отложениях свиты фауны не обнаружено, и возраст устанавливается на основании литологического сходства с разрезом, вскрытым скважиной на соседней территории.

Видимая мощность отложений чарской свиты составляет 180 м.

Средний – верхний отделы

Верхоленская свита (Θ_2 – Θ_3) развита в южной части территории на водоразделе рек Тас-Юрях и Бетиче, где она слагает крылья Бетинчикской антиклиналии. Вследствие слабой устойчивости к процессам денудации, породы свиты не образуют крупных обнажений, и изучение их производилось по разрозненным мелким обнажениям, горным выработкам и высыпкам на склонах.

В пределах территории листа выходят на поверхность лишь отложения нижней части свиты, залегающие на отложениях чарской свиты со стратиграфическим неогластием. Из разреза выпадают отложения метегерской свиты среднего кембрия и верх чарской свиты.

Отложения свиты представлены пестроокрашенными мергелями, переслаивающимися с доломитами и глинистыми доломитами с прослойками песчаников и алевролитов. На плоскостях наслоения пород часто наблюдаются знаки волновой раби и глинтогеноза по галиту. Мергели и алевролиты, наблюдающиеся в разрезе свиты, красно- и зинно-бурые, зеленоватые, голубовато-серые, тонкослитчатые до листоватых, при выветривании образующие красно-бурую или зеленоватую вязкую глину. Доломит светло-серые и желтовато-серые, кальцитизированы, пористые и кавернозные, тонкослоистые. В щифте основная масса (70-80%) сложена мелковернистым доломитом с размером зерен 0,05-0,1 мм. Мелкие поры и трещины выполнены кальцитом.

Песчаники красно-бурые, розово-серые, серые тонкослоистые, мелковернистые, кварц-полевошпатовые. Порода на 30-40% тонкослоистые, пористые и кавернозные, тонкослоистые. В щифте основная масса (70-80%) сложена мелковернистым доломитом с размером зерен 0,05-0,1 мм. Мелкие поры и трещины выполнены кальцитом.

Подные разрезы верхоленской свиты обнаруживаются в долине р. Нюк (южнее территории листа) и западнее в долине р. Оччутуй-Мурбай, где эти отложения были вскрыты скважиной (сверху вниз):

I. Переслаивание мергелей, известняков, доломитов, реже аргиллитов и алевролитов. Известняки темно-коричневато-серые, буровато-серые и бурые с красноватым оттенком, мелковернистые, среднеплитчатые. Аргиллиты и алевролиты темно-зеленые и бордово-красные 50 м

2. Переслаивание мергелей, доломитов с подчиненными прослойками аргиллитов, алевролитов и известняков. Мергели красно-бурые, реже зеленоватые и голубоватые. Известняки и доломиты мелковернистые, буровато-коричневые 60 "

3. Переслаивание пестроокрашенных мергелей, аргиллитов, реже алевролитов, доломитов и известняков. Отмечается загипсованность пород 40 "

4. Переслаивание мергелей, глин, доломитов, известняков и песчаников. Мергели и глины зеленовато-серые, бордово-красные, тонкослоистые. Доломиты и известняки серовато-коричневые, реже кирпично-красные, мелковернистые, часто глинистые, с тонкими прожидами и прослойками белого и голубоватого гипса мощностью до 2-3 см. На плоскостях наслоения наблюдаются знаки раби и трещины усыхания. Песчаники в разрезе

имеют подчиненное значение и представлены мелко- и тонкозернистыми разностями, переходящими в алевролиты 34 м

5. Тонкое переслаивание мергелей и глины. Мергели красно-бурые, тонкослоистые и листоватые, часто волнистослоистые. На плоскостях наслоения отмечаются волноприбойные знаки и трещины усыхания. Глины кирпично-красные плотные, вязкие, без примеси песка 45 "

Мощность свиты 210-300 м.

Отложения верхоленской свиты залегают со стратиграфическим несогласием на фаунистически охарактеризованные отложения чарской свиты и граница между ними проводится по резкой смене карбонатных пород, в основном светло-серых и коричневато-серых известников Чарской свиты, пестроцветными терригенно-карбонатными отложениями верхоленской свиты.

Базальные слои верхоленской свиты представлены светло-зеленоватыми, глинистыми алевролитами и мергелями, дающими при выветривании характерную муничистую бедую массу.

Возраст верхоленской свиты устанавливается по ее стратиграфическому положению и по сопоставлению с аналогичным фаунистически охарактеризованными отложениями в районе верхнего течения р. Лены, где аналоги верхней пачки верхоленской свиты содержат фауну верхнекембрийского облика: *Kurgaspis obesigulus* Tchern., *Vercholeneilla kargasovi Vas.*, *V. sidorenkovi Vas.*

Мощность отложений верхоленской свиты 180 м.

ОРДОВИСКАЯ СИСТЕМА

Нижний отдел (O_1)

Отложения этого возраста развиты в северной части территории листа и слагают склоны долин рек Видимчана и Муки. В пределах территории листа выходит на поверхность, по всей вероятности, верхняя часть нижнеордовикских отложений, перекрытая осадками укугутской свиты нижней юры. Литологически эта часть разреза сходна с фаунистически охарактеризованными отложениями чуньского яруса, вскрывшимися севернее территории листа в долине р. Стан (притока р. Видимчан).

Отложения нижнего ордовика представлены доломитами серыми, зеленовато- и желтовато-серыми оолитовыми и псевдоолитовыми, иногда водорослевыми. В виде прослоев встречаются оолитовые

известники и плоскогалечные конгломераты. Породы обычно плитчатые и тонкоплитчатые, на поверхностях их наслойения наблюдаются знаки рабьи и глиптоморфозы по кристаллам каменной соли.

Доломиты и алевритовые доломиты обладают псевдоодитовой, мелкозернистой, среднезернистой, реже микрозернистой структурами.

Текстура пород обычно слоистая, часто микроодитовая, причем, наблюдается чередование прослоек доломитов различной зернистости и с различным содержанием терригенного материала. Часто присутствуют водорослевые разности пород.

Известняки в отложениях нижнего ордовика играют значительно меньшую роль, чем доломиты. Они обладают одитовой, псевдоодитовой и мелкозернистой структурами. Одитовые разности имеют красно-бурые окраску, обусловленную присутствием гидроокислов железа. Центральная часть одитов сложена микрозернистым известьяном. Форма ядра круглая, реже вытянутая. Периферическая часть состоит из кальцита радиально-лучистого строения. Емкующая масса сложена зернами бесцветного кальцита размером 0,03 мм. В виде единичных ромбовидов в породе присутствует доломит. Известняки мелкозернистые и среднезернистые, сложены зернами кальцита поликонгломератной формы с присутствием незначительного количества алевритовых зерен кварца (до 5%) и пелитового материала (до 1%).

Возраст отложений устанавливается на основании фауны *Suttorhynchus* sp., собранной в верхних горизонтах нижнего ордовика в обнажениях по р. Вильчан, в 4 км севернее территории листа. Породы, в которых была собрана фауна, прослеживаются и на территории листа в долине р. Улахан-Синьгынгес.

Подовая мощность отложений нижнего ордовика в северо-восточной и центральной частях Нийско-Джербинской площади составляет 160–240 м. К юго-востоку мощность их постепенно увеличивается и в нижнем течении рек Нуи и Джербон достигает 400 м /10/. В пределах территории листа видимая мощность отложений нижнего ордовика составляет 35–40 м.

ИРСКАЯ СИСТЕМА

Нижний отдел

Отложения укугутской свиты (J_{1uc}) в пределах территории листа распространены довольно широко. Они залегают с угловым и стратиграфическим несогласием на различных горизонтах нижнепалеозойских отложений. Породы свиты не обра-

зуют крупных обнажений и изучение их производилось по отдельным мелким выходам, горным выработкам и высоткам на склонах. Кроме того, при описании были использованы материалы, полученные при бурении скважин в долине р. Бай-Бес (притока р. Вильчаны), а также материалы по соседним площадям.

Отложения укугутской свиты по литологическим признакам подразделяются на две пачки: нижнюю – песчано-конгломератовую и верхнюю – песчаную. Песчано-конгломератовая пачка сложена слабо скементированными конгломератами, галечниками, с подчиненными прослоями слабо скементированных песчаников и песчанистых глин, содержащих галечный материал. Конгломераты и галечники характеризуются различным размером гальки (от 1 до 6 см). Галечный материал, как правило, хорошо окатан и представлен кварцем, доломитами, рече – песчаниками с кальцитистыми и песчано-глинистыми цементом. Песчаники бурные, интенсивно окислены, плотные, массивные, тонкозернистые с базальным кальцитистым, ионгидриевым, кварц-слидистым цементом. Переход от отложений нижней пачки к верхней – постепенный и выражается в уменьшении прослоев грубобобомочных пород. Мощность пачки – 40 м.

Песчаная пачка сложена песками серыми, кварц-половинчатоватыми, средне- и мелкозернистыми. Для песков характерны косая слоистость и включение округлых конкреций марказита. В виде прослоев мощностью 0,1–1 м встречаются известковые песчаники и конгломераты. Цвет известковых песчаников серый, темно-серый, реже – темно-бурый. Преобладают мелкозернистые разности, но встречаются и среднезернистые.

В составе тяжелой фракции песчаников и известковых песчаников преобладанием минералогической ассоциации является ильменит-эпидот-роговообманковая. Содержание роговой обманки составляет 18–61,2%, эпидота – II, 2–40,8%, ильменита – 2, 3–31,8%. В меньших количествах присутствуют: гранат, циркон, сфен. Мощность пачки 80 м.

Для характеристики отложений укугутской свиты приводим разрез скважин Бай-Бес (мощность интервала, м).
0,0–1,5. Суглинки темно-серые, серые косослоистые.
1,5–3,9. Пески серые, кальцитативные, тонкозернистые, переслаивающиеся с глинистым материалом.
3,9–4,7. Песок серый, тонкозернистый, полимиктовый.
4,7–5. Песчаник светло-серый, среднезернистый, плотный полимиктовый.
5,0–5,5. Песчано-глинистый материал бурого цвета.

- 5,5-17,7. Песчаник серый, мелкозернистый, косослоистый слабо сцементированный.
- 17,7-18,3. Песчаник желтовато-серый, плотный, мелкозернистый, косослоистый, полимиктовый.
- 18,3-19,3. Песчано-глинистый материал буровато-желтого цвета.
- 19,3-25,1. Глина желто-серая и серая, плотная, тонкослоистая, участками наблюдаются прослои песчаника и алевролита.
- 25,1-26. Песчаник желто-серый, мелкозернистый косослоистый с прожилками угля.
- 26,0-26,4. Глина серая, плотная.
- 26,4-29. Песчано-глинистый материал серого цвета.
- 29,0-29,8. Песчаник светло-серый, мелкозернистый, косослоистый, плотный.
- 29,8-30,6. Глина серая, песчанистая, тонкослоистая.
- 30,6-31,1. Песчаник светлого-желтый, среднезернистый, косослоистый, слабо сцементированный
- 31,1-31,4. Глина серая песчаник косослоистая.
- 31,4-45,4. Песчаник пепельно-серый, косослоистый, слабо сцементированный.
- 55,4-56. Галечник с песком кварцевого состава.
- 56,0-56,7. Песчаник пепельно-серый, мелкозернистый, косослоистый, полимиктовый, слабо сцементированный.
- 56,7-65,5. Песчаники пепельно-серые, мелкозернистые косослоистые слабо сцементированы с прослойками галечников.
- 65,5-65,8. Конгломерат, среднегалечный, сцементированный известковым цементом.
- 65,8-66,5. Песчаник пепельно-серый, мелкозернистый, косослоистый, слабо сцементированный, полимиктовый.
- 66,5-71,6. Конгломерат плохо сцементированный песчанистым цементом, с углистыми остатками.
- 71,6-79,5. Песчаник пепельно-серый, мелкозернистый, косослоистый, полимиктовый, с включением углистого материала.
- 79,5-81,9. Конгломерат, среднегалечный, слабо сцементированный песчанистым цементом.
- 81,9-82,6. Песчаник мелкозернистый, плотный, полимиктовый, содержащий включения гравелита и углистого материала.
- 82,6-84,4. Глинисто-песчанистый материал серого цвета с маломощными прослойками галечника.
- 84,4-90,9. Песчаник пепельно-серый, мелкозернистый, косослоистый, полимиктовый, содержащий прослой глинисто-песчано-галечного материала.

- 90,9-93,1. Глинисто-песчаникий материал серого цвета, содержащий прослои пепельно-серого песчаника и угля.
- 93,1-94. Конгломерат среднегалечный, слабо сцементированный.
- 94,0-95,6. Песчаник среднезернистый, косослоистый, полимиктовый с редкой галькой кварца.
- 95,6-96. Конгломерат слабо сцементированный.
- Возраст отложений укугутской свиты устанавливается на основании сопоставления с аналогичными отложениями на соединенных площадях, где они содержат споры и пыльцу. Среди пыльцы основное место занимает пыльца голосеменных растений из семейства Pinaceae, Bennettites ginkgo. Наряду с пыльцой Bennettites, Pinaceae ginkgo присутствуют в значительном количестве древние хвойные: Protoconiferus fumarius Baum., Coniferella piceoegerticulata gen. sp. nov. Picea major nov. (определения М.М.Одинцовы). Преобладающее содержание пыльцы над спорами, наличие довольно большого содержания Bennettites и древних хвойных позволяют датировать возраст отложений, как нижний дейас. Мощность свиты 120 м.

ЧЕТВЕРТИЧНАЯ СИСТЕМА

В пределах рассматриваемой территории развиты четвертичные отложения различных генетических типов: аллювиальные, аллювиально-делювиальные, делювиальные, аллювиальные и озерно-болотные. Стратифицируются только современные аллювиальные отложения, которые и показаны на геологической карте.

Современные четвертичные отложения (Q_{IV})

Отложения этого возраста представлены аллювиальными образованиями, развитыми повсеместно в долинах рек, и слагают русло и пойму. Представлены они песками, иллистыми песками, суглинками и гравийно-галечным материалом, состоящим из кварца, кварцита, кремня. На участках развития нижнепалеозойских пород в составе аллювия преобладают обломки и гальки карбонатных пород. Мощность аллювиальных отложений обычно не превышает 3-5 м.

Четвертичные отложения нерасчлененные

Названные отложения включают делювиальные, элювиальные и озерно-бодотные образования. Большинство из них имеют ограниченное распространение и мощности, не превышающие 3-5 м. Формирование их происходило в течение длительного времени, охватывающего почти весь четвертичный период. Элювиальные отложения слагают выровненные участки водоразделов, не затронутые эрозией, делювиальные приурочены к нижним частям склонов долин. Состав как тех, так и других зависит от состава подстилающих пород. В поле развития отложений нижней при они представлены песками, глинами, обломками алевролитов и песчаников, а на участках развития нижнепалеозойских карбонатных пород - глинами и суглинками с обломками доломитов, известняков и мергелей.

Озерно-бодотные отложения имеют довольно ограниченное распространение и выполняют в основном пониженные участки рельефа, в которых располагаются озера. Представлены они пестрано-илистым материалом, нередко с поверхности перекрытым торфяником. Максимальная мощность озерно-бодотных отложений не превышает 3 м.

ИНТРУЗИВНЫЕ ОБРАЗОВАНИЯ ($\nu\beta PZ_2? \text{ m}$)

На рассматриваемой территории интрузивные образования распространены крайне слабо. При бурении разведочной скважины на трубочной аномалии в долине р. Бай-Бес на глубине 96 м под толщей нижнелужских отложений были вскрыты долеритовые порфиры и эпидот-хлоритовый амфиболит.

Долеритовый порфирит обладает пилотакситовой структурой основной массы. Породообразующие минералы представлены плагиоклазом (50%), моноклинным пироксеном (25%), в значительных количествах (20%) присутствует рудный минерал.

На фоне основной массы, состоящий из микролита плагиоклаза, разрушенного пироксена и рудного минерала, выделяются скопления фенокристаллов плагиоклаза и оливина. Плагиоклаз основной массы представлен микрокристаллами удлиненной призматической формы. В промежутках между зернами располагается хлоритизированный моноклинный пироксен и рудный минерал.

Фенокристаллы оливина (5%) по краям замещаются хлоритом, илдингитом и гидрохисидами железа. Центральная часть зерен обычно замещается кальцитом. Плагиоклаз порфировых выделений почти нещадно замещен кальцитом.

Эпидот-хлоритовый амфиболит состоит в основном из урелитовой роговой обманки - 44%, хлорита - 25% и эпидота - 20%. В незначительных количествах присутствует кварц - 5%, плагиоклаз - 5% и рудный минерал - 1%. Структура породы гипербластовая, обусловленная различным размером и формой зерен. Роговая обманка грязно-зеленая, водокнистая. В поперечном разрезе зерна имеют форму восемьмигранника. Местами сохранились участки с углами погасания, типичными для пироксена ($Ng = 45^{\circ}$). Минералы, образующие породу, по-видимому, являются продуктами изменения минералов, входящих в состав долеритов, и их образование связано с воздействием гидротермальных процессов на породы трапшовой формации. В этом случае образование урелитовой роговой обманки и хлорита связано с разложением пироксенов.

Помимо описанных выше пород, на территории листа аэромагнитной съемкой зафиксировано ряд аномалий, интерпретируемых как дайковые тела. Всего было зафиксировано десять даек, преимущественно северо-восточного простирания, наиболее крупные из них имеют длину более 65 км. Возраст вскрытых магматических пород принимается как долеритский (среднепалеозойский) на основании того, что саадочные породы укутской свиты имеют в интрузивном телом холодный контакт. Закартированные и выявленные аэромагнитной съемкой в соседних районах дайки долеритов прорывают отложения ордовика и силура и перекрыты более поздними образованиями карбона и девона /Ю, II/.

ТЕКТОНИКА

Территория листа располагается на юго-западном склоне Сунтарского поднятия и северо-западном крыле Нийской впадины. Обе структуры входят в Западно-Бийскую поперечную краевую систему, выделенную Н.М. Чумаковым /19/, который включал в нее Уринский антиклиниорий, Кемпендинскую впадину и Сунтарский горст. В дальнейшем М.В. Михайлов и В.Ф. Филатов /10/ к поперечной краевой системе отнесли Игнатинскую, Березовскую и Нийскую впадины.

Геофизические исследования, проведенные в пределах территории листа и на смежных с ними площадях, позволяют судить о строении и глубине залегания фундамента. Территория характери-

зуется сравнительно неоднородным гравитационным полем. Приподнятуму блоку фундамента в пределах Сунтарского поднятия отвечают относительно повышенные значения силы тяжести. Глубина залегания фундамента здесь составляет 2-2,5 км. Для Нийской впадины отмечается пониженные значения силы тяжести, характеризующие опущенный блок фундамента. В зоне соединения Сунтарского поднятия с Нийской впадиной отмечаются интенсивные гравитационные ступени, обусловленные глубинными разломами, по которым и произошло опускание Нийского блока. Кроме того, по двум глубинным разломам северо-восточного простирания Нийская впадина разбита на три блока - Хотогонский, Нийский и Улугурский, из которых Нийский блок наиболее опущенный. Глубина залегания фундамента в ней составляет 4-5 км. Помимо описанных выше региональных аномалий, отмечается локальные гравитационные положительные аномалии, сложенные карбонатными породами нижнего палеозоя. Они совпадают в плане с антиклинальными структурами.

По данным аэромагнитной съемки, территория листа характеризуется несколько дифференцированным магнитным полем с небольшими по интенсивности аномалиями северо-восточного простирания, обусловленными неоднородностью строения фундамента. Необходимо отметить, что в пределах Сунтарского поднятия наблюдается совпадение аэромагнитных и гравиметрических данных. Так, приподнятуму блоку фундамента здесь соответствует подожительная магнитная аномалия. Кроме того, имеется ряд узких линейно вытянутых аномалий северо-восточного простирания, отвечающих дайкам, не выходящим на дневную поверхность (рис.1, 2).

На юге территории листа располагается северо-восточное окончание Мурбайского поднятия, в пределах которого здесь выделяются Кыш-Балаганнахская и Бетинченская антиклиналь (рис.3).

К иш - Балаганнахская антиклиналь расположена на водоразделе рек Тас-Юрях и Кутулах. На территории листа располагается лишь восточная часть складки, имеющая здесь широтное направление. Свод ее сложен образованиями чарской свиты, крылья перекрываются отложениями укугутской свиты. Протяженность складки по длиной оси составляет около 20 км, при ширине 6-7 км. Основная часть складки расположена за пределами территории листа, хорошо фиксируется в долине р.Мал.Мурбай. Здесь в ядре ее выходят породы одеяминской свиты, на крыльях вскрывается отложения верхоленской свиты. Складка имеет несколько асимметричное строение: крутое - северо-западное крыло с углами падения 15-20° и более пологое юго-восточное -

318

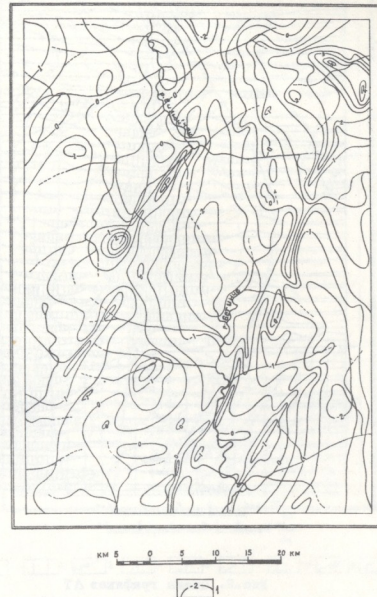


Рис.1. Схема аномального магнитного поля
1 - изолинии ΔT в мЗ

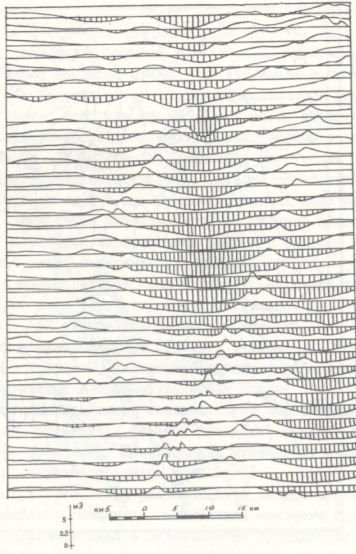


Рис.2. Схема графиков ΔT

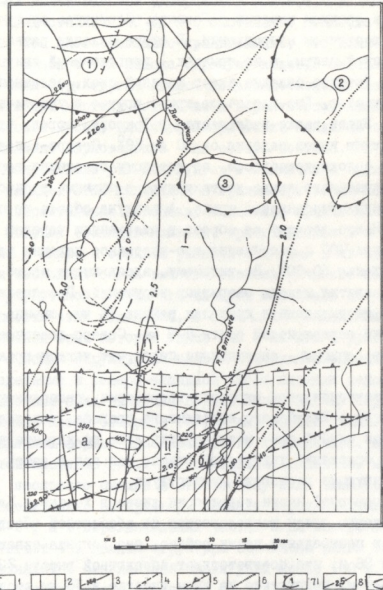


Рис.3. Тектоническая схема

1 - Ангаро-Бильярский прогиб; 2 - Мурбайское поднятие; а - Кин-Балаганическая антиклиналь; б - Бетицканская антиклиналь; 3 - стратиграфия по подобию нижнегорских отложений установленные (в м); 4 - то же, предположительные; 5 - разрывные нарушения; 6 - дайки, выявленные аэромагнитным съемкой; 7 - поднятия, выявленные морфометрическим методом: (цифры в кружках) 1 - Вильчанское, 2 - Харыстанское, 3 - Бочугунарское; 8 - изогипсы поверхности фундамента; 9 - изогипсы опорного сейсмического горизонта

10-15°. Амплитуда складки в центральной части составляет 200-220 м.

Бетинченская антиклиналь располагается в среднем течении р. Бетинче. Структура ориентирована в северо-восточном направлении. В своде складки развиты отложения чарской свиты, а на крыльях - верхоленской свиты. В разрезе по р. Бетинче складка имеет широкий свод, осложненный мелкой складчатостью. Юго-восточное крыло крутого с углами падения около 50°. Здесь также наблюдается гофировка пород, что приводит к изменению углов падения от 30 до 80°. Северо-западное крыло складки осложнено сбросом, по которому отложения верхоленской свиты опущенного крыла контактируют с нижними горизонтами чарской свиты приподнятого крыла. Амплитуда сброса не превышает 150 м. К юго-востоку от сброса в отложениях чарской свиты на протяжении 700 м отмечается юго-восточное падение пород с углами падения 50-60°. По-видимому, здесь имеет место зона смятия и развития мелких разрывных нарушений. Протяженность Бетинченской антиклинали в пределах района 18 км, ширина по выходу отложений верхоленской свиты 8-9 км. Северо-восточное и юго-западное крылья антиклинали перекрыты чехлом юрских отложений.

О тектоническом строении территории, расположенной в пределах Ангаро-Вильчанского наложенного прогиба, выполненного отложениями нижней юры, можно судить лишь по характеру задегания подошвы отложений укугутской свиты, так как в самой толще свиты маркирующие горизонты отсутствуют.

В северной части территории листа в долине р. Улахан-Сининь-игес подошва свиты располагается на абсолютной высоте 240 м. Южнее, в центральной части района, она вскрыта скважиной на глубине 96 м, что соответствует абсолютной высоте 235 м. Таким образом, погружение на этом участке в 18 км составляет всего 5 м. В южной части района в устье р. Аллара-Кетис абсолютная высота подошвы свиты составляет 280 м, т.е. погружение на этом участке в 34 км составляет 45 м. Эти цифры показывают, что центральная часть Ангаро-Вильчанского прогиба характеризуется весьма пологим погружением (0,1-0,5) мезозойских пород к южной части прогиба.

Более сложное задегание подошвы юрских отложений отмечается в пределах Мурбайского поднятия. Здесь на крыльях складок и в синклиналях подошва укугутской свиты располагается на высоте 260-320 м, а в сводах структур - на высоте 340-400 м.

Естественно, что такой перепад не может быть обусловлен только неровностями палеозойского (домрского) рельефа, так как разница в высотах достигает 140 м, что составляет мощность укугутской свиты. Это дает основание предполагать, что нижнепротские отложения в южной части района образуют пологие складки, совпадающие с общим структурным планом нижнепалеозойских пород.

Аналогичную картину мы, по всей вероятности, имеем на севере территории листа, где морфометрическим анализом выделяются три поднятия: Харнинское - на северо-востоке, Бочугунурское - на юго-западе рек Бочугунур и Вилчан и Вильчанско-е - на северо-западе. Этим поднятиям в гравиметрическом поле соответствуют положительные аномалии. Поднятия, представляющие по-видимому, пологие брахиклиниали, ориентированы в широтном направлении и имеют в среднем размеры 15x7 км. В их пределах отмечается несколько более высокое гипсометрическое положение отложений укугутской свиты, что следует связывать не с увеличением мощности этих отложений, а с подогнутыми складками по отложением нижней юры, которые также как и на юге территории совпадают с общим структурным планом нижнепалеозойских пород.

Проведенными в северо-западной части площади сейсморазведочными работами была выявлена Верхне-Вильчанская структура, представляющая собой обширное (22x42 км) пологое поднятие с легкой асимметричной формой. Простиранье его субширотное, амплитуда по замкнутой изогипсе (-2,0 км) составляет более 100 м. Свод структуры несколько смещен к юго-востоку и не симметрично расположены относительно ее крыльев. Падение пород на крыльях составляет 2-3°, а в перекрестных частях и на северо-восточном борту достигает 4°. Крылья структуры осложнены рядом более мелких антиклиналей и синклиналей амплитудой менее 100 м.

Кроме плакативных дислокаций, на площади листа незначительно развиты дизъюнктивные нарушения.

Первое нарушение установлено на северо-западном крыле Бетинченской антиклинали. Здесь сброс северо-восточного простирания прослеживается на протяжении около двух километров. В контакт приведены отложения чарской и верхоленской свит. Опущенное является северо-западное крыло, где обнажаются породы верхоленской свиты; на приподнятом юго-восточном вскрываются отложения чарской свиты. В зоне тектонического нарушения в породах чарской и верхоленской свит отмечается микроскладчатость, зоны дробления и крутые углы падения. Амплитуда сброса не превышает 150 м.

Второе незначительное нарушение, выявленное дешифрированием аэрофотоснимков, установлено в долине р. Удахан-Синьнегес. На местности оно выражено в виде невысокой бровки северо-восточного простирания, протягивающейся почти на 4 км и уходящей за пределы территории листа, где на ее продолжении в отложениях нижнего ордовика зафиксировано нарушение с амплитудой в 120 м.

История развития рассматриваемой территории может быть восстановлена лишь начиная с чарского времени, так как древнейшими отложениями на площади являются отложения чарской свиты нижнего кембрия.

Раннекембрийский этап геологического развития характеризуется погружением территории, в результате которого сформировались довольно мощные толщи карбонатных отложений. Временами район испытывал кратковременные воздымания, осадки подвергались подводным размывом с образованием брекций и брекчированных пород.

В конце среднекембрийской эпохи происходило воздымание территории, приведшее к размыю среднекембрийских и частично нижнекембрийских отложений.

В позднекембрийское время территория вновь испытывает погружение, превращаясь в область осадконакопления, где происходит отложение пестроцветных терригенно-карбонатных осадков вехденской свиты. Терригенный материал, в значительных количествах присутствующий в породах верхнего кембрия, сносился, по-видимому, с Патомского нагорья, представляющего в то время горную страну.

В ордовикский этап территории продолжает испытывать погружение, причем наибольшее прогибание испытала краевые части платформ, о чем свидетельствует возрастание мощности этих отложений в сторону Патомского нагорья.

В верхнем складре — верхнем карбоне на рассматриваемой территории существовал перерыв в осадконакоплении, произошедшие в это время тектонические движения привели к образованию складок и связанных с ними нарушений. В это же время происходит внедрение траппов.

На протяжении всего верхнего палеозоя территория листа была втянута в поднятие и являлась источником сноса для формировавшейся Тунгусской синеклизы. В начале мезозоя произошла стабилизация тектонических движений, и на обширных равнинных участках, на породах палеозоя формировалась кора выветривания, реликты которой в настоящее время сохранились в основании иреляхской свиты рэг-лейаса западнее территории листа.

В конце триаса — начале юры район вновь втягивается в прогибание, начавшееся в связи с формированием Ангаро-Вилейского прогиба. На протяжении юрского периода здесь накаплилось несколько сот метров континентальных и морских отложений. В последующее время происходит разрыв этих отложений в стабильных тектонических условиях.

ГЕОМОРФОЛОГИЯ

В геоморфологическом отношении территория листа располагается на юго-западной окраине Лено-Вилейской равнины. Поверхность равнины характеризуется средними (300—400 м) абсолютными высотами, пологоволнистым рельефом, поверхность которого постепенно понижается в северо-восточном направлении, и густой сетью речных долин.

Геоморфологический облик территории сложился в результате начавшихся в среднеречье время поднятий территории и последующих процессов эрозии и денудации.

Развитые на территории песчано-глинистые и карбонатные породы, залегающие почти горизонтально, обусловили образование плаской равнины. Поднятие территории, продолжавшееся до настоящего времени, происходило неравномерно. Восходящие движения в кайнозое привели к резкому усиению эрозионных процессов.

Почти все реки имеют У-образный, корытообразный или, близкий к нему, поперечный профиль. Склоны долин пологие, крутизна их обычно составляет $5-10^{\circ}$. Водоразделя, как правило, плоские, их поверхности полого наклонены в сторону долины. Иногда на поверхности водоразделов и пологих склонах долин встречаются выпадающие участки, относительные понижения которых составляют 5-10 м, денудационная деятельность в них развита слабо. В днищах долин большинство рек широким развитием пользуются кочкарниково-торфяные болота.

Наиболее крупными реками района являются р. Бетинче, пересекающая площадь с севера на юг, и р. Вилейчан, текущая вначале в широтном, а затем в меридиональном направлении с юга на север.

Река Бетинче имеет различное строение долины. В условиях развития нижнекарбоновых отложений долина широкая, местами достигает 2 км с корытообразным поперечным профилем. На отдельных участках асимметричное строение ее становится асимметричным, причем, более крутым склоном ($6-7^{\circ}$), как правило, является левый, пологий ($1-2^{\circ}$) — правый. Строение долины резко меняется

там, где река прорезает отложения нижнего палеозоя. Здесь она имеет симметричное строение, У-образный поперечный профиль при крутизне склонов 10-15° и образует глубоко врезанные меандры. Продольный профиль реки имеет различный уклон, изменяясь от 2,5-3 м на 1 км, в верхнем течении - до 1 м на 1 км, а в нижнем еще менее. На всем протяжении реки прослеживается низкая пойма шириной от 60 м до 1,5 км. Без заметного перегиба низкая пойма переходит в высокую, прослеживаемую лишь на отдельных участках.

Река Видлайчан в верхнем течении характеризуется широкой (до 8 км) слабо врезанной долиной. На участке, где река протекает по отложениям ордовика, профиль долины асимметричный, поперечный, с крутым правым и пологим левым склонами. Повсеместно по реке прослеживается низкая и высокая поймы.

Происхождение всех долин обусловлено эрозионной деятельностью.

Заметную роль в формировании долин играет литологический состав пород. Почти все реки текут по рыхлым песчано-галечным отложениям нижней кры, незначительная крепость которых способствует их быстрому размыву. Многолетнемерзлые породы, развитие на территории, оказывают существенное влияние на характер долин. Они препятствуют глубинной эрозии и способствуют боковой, что приводит к расширению долин, в то время как глубина их остается сравнительно малой. В местах, где реки прорезают более крепкие карбонатные породы нижнего палеозоя, долины их резко сужаются, глубинная и боковая эрозия действуют в одинаковой степени.

Формирование современного рельефа началось с того времени, когда описываемая территория вышла из-под уровня моря и превратилась в приморскую равнину. После отступления морского бассейна на протяжении средне-верхнеюрского и мелового времени на территории накапливались толщи континентальных осадков.

В неогеновый в четвертичный периоды в результате дальнейших тектонических движений происходит обособление южной части района. Северная и центральная части территории испытывали поднятия незначительной амплитуды.

В результате этих движений оживились эрозионная деятельность, приведшая к образованию речных долин. В пределах поднятия, где эрозия была более интенсивной, формируются глубоковрезанные речные долины с У-образным поперечным профилем. На других участках территории листа развиты долины с пологими склонами и широкими днищами.

ПОЛЕЗНЫЕ ИСКОПАЕМЫЕ

На территории листа известны лишь строительные материалы, представленные известняками, доломитами, галечниками и песками, приуроченными к отложениям нижнего кембрия и нижней кры.

СТРОИТЕЛЬНЫЕ МАТЕРИАЛЫ

Известняки

Чистые разности известняков приурочены к отложениям чарской свиты нижнего кембрия, выходы которых отмечаются по р. Бетинче (ІУ-3-І), где они образуют крупные скальные обнажения, протягивающиеся на значительные расстояния. Мощность отдельных слоев известняка колеблется в пределах 2-30 м. Химический анализ известняков показал содержание: CaCO_3 - 95,07%, MgCO_3 - 4,01%, R_2O_3 - 0,25%, н. о. - 0,67%. Известняки удовлетворяют техническим требованиям при производстве воздушной извести класса "А" а также пригодны для других производств (содового, карбида кальция). Подсчеты запасов не производились, но судя по общим геологическим предпосылкам запасы их велики.

Доломиты

Доломиты пользуются в пределах района незначительным распространением. Они обнаруживаются в долине р. Бетинче, образуют скальные обнажения и приурочены в основном к отложениям чарской свиты. Доломиты серые и желтовато-серые, массивные, песчанистые и глинистые. Мощность отдельных прослоев 1,5-2 м. Химический состав доломитов: CaCO_3 - 0,42, MgCO_3 - 96,32, R_2O_3 - 2,20, H_2O - 0,44, п.п.п. - 0,35%.

Доломиты могут быть использованы в качестве наполнителя обычных бетонов, а также для дорожных и строительных целей.

Пески и галечники

Пески и галечники (ІІ-І-І) развиты по левому склону долины р. Інах-Крик, в 1 км от устья р. Бидир на поверхности пойменной террасы. Пески полевошпат-кварцевые, разнозернистые, мощность

их составляет 3-5 м. Галечники представлены галькой кварца, кремния, кварцита. Размер ее от мелкой до валунов. По грануло-метрическому составу пески средние и крупнозернистые, преобладают среднезернистые: 0,25 мм - 18%, 0,5 мм - 85%, 1 мм - 90%, 2 мм - 30%, 3 мм - 22%, 5 мм - 24%.

Минеральный состав песков: кварца - 80%, подового шпата - 7% встречаются редкие знаки слюды и лимонита; около 10% составляют окаменелые обломки карбонатных пород. Пески и галечники могут быть использованы при строительстве дорог. Запасы песков и галечников не подсчитывались.

Продолжая в процессе геологической съемки поиски полезных ископаемых в россыпях не дали положительных результатов. Для района была установлена одна лимонит-гранат-ильменитовая ассоциация. В некоторых щихах отмечалось повышенное содержание ильменита 1057 г на 1 м³ породы (р. Оргулах). В целом результаты щихового опробования свидетельствуют о малой перспективности исследуемой территории в отношении россыпных полезных ископаемых.

ОЦЕНКА ПЕРСПЕКТИВ РАЙОНА

Нефть и газ. Тектоническое положение района в пределах Ангаро-Ленского прогиба, в юго-западной части которого открыто месторождение нефти (с. Марково), позволяет считать территорию листа перспективной в нефтегазономическом отношении.

Геодогоразведочными работами, проводившимися на Мурбайском поднятии, установлена значительная битуминозность пород нижнего кембрия. В отложениях чарской свиты общее среднее содержание битума колеблется в пределах 0,05-0,001%, в одекминской свите - 0,01-0,0001%. Максимальное содержание битума отмечено в породах толбачанской свиты и достигает 0,32%. Подложительным признаком нефтегазоперспективности является наличие метана до 14,7%, в составе растворенных газов в водах источников, расположенных в пределах Мурбайского поднятия /3/. Это указывает на возможное широкое распространение метановых газов в глубоких частях разреза нижнекембрийских отложений. По аналогии с юго-западной частью Ангаро-Ленского прогиба можно предполагать, что в близких структурных условиях к Марковскому месторождению находится Мурбайская зона складок. Две складки, входящие в эту зону - Киш-Балаганахская и Бетинченская, располагаются непосредственно на территории листа.

Основные перспективы нефтегазоносности в пределах этих структур необходимо связывать с отложениями жербинской и тинновской свит. В качестве покрышек, предохраняющих образовавшиеся нефтяные и газовые залижи, могут служить глинистые и плотные карбонатные породы и пласты каменной соды, приуроченные к нижнекембрийским отложениям и являющиеся идеальными изоляторами.

Для уточнения структурных условий представляется целесообразным проведение сейсморазведочных работ и структурного бурения в пределах выявленных структур с целью подготовки их для глубокого разведочного бурения.

Помимо основной задачи - поисков нефтяных и газовых месторождений в результате глубокого бурения будет решен вопрос о коллектиорских свойствах перспективных горизонтов и ряд других вопросов, что позволит более уверенно говорить о нефтегазоперспективности рассматриваемой и прилегающей к ней территории.

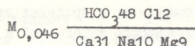
ПОДЗЕМНЫЕ ВОДЫ

По схеме гидрогеологического районирования территория листа относится к юго-западной части Иркутского артезианского бассейна. Широким развитием здесь пользуются многоглетнемерзлые породы, мощность которых составляет 200-250 м. Мощность сезоно-протаивающего слоя колеблется от 0,5 до 3 м в зависимости от элементов рельефа.

В соответствии с литологическим составом, возрастом водоносных пород и условиями циркуляции в них подземных вод, могут быть выделены следующие водоносные комплексы.

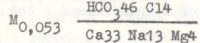
Водоносный комплекс четвертичных отложений с поровыми водами используется почти повсеместным распространением и приурочен к сезонно-протаивающему слою. Основное питание эти воды получают за счет атмосферных осадков, которые аккумулируются в сезонно-протаивающем слое и обеспечивают рекам района в меженный период постоянный сток. Дебиты связанных с этими водами источников колеблются от 0,01 до 1-2 л/с, значительно возрастая во время дождей. В течение зимы воды часто полностью промерзают, обраzuя небольшие наледи.

По химическому составу воды описываемого комплекса принадлежат к группе гидрокарбонатно-кальциевым с низкой минерализацией - 31-46 мг/л. Состав их может быть представлен по формуле Курлова:

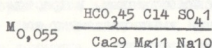


pH 6-7 (р. Аллара-Кетис,
проба I).

Водоносный комплекс нижнеорских отложений с поровыми и трещинно-пластовыми водами объединяет горизонты нижнекорских отложений, залегающие в пределах мералой зоны и, как правило, полностью промороженные. Слабые нисходящие источники этих вод наблюдались в долине р.Бетиче. По химическому составу воды этого источника принадлежат к группе гидрокарбонатно-кальциевых вод с минерализацией 40-50 мг/л. Слабая минерализация вод характеризует, по всей вероятности, более промытую часть разреза нижнекорских пород. Формула Курлова для этих вод имеет вид:

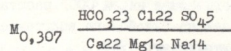


Водоносный комплекс нижнеорловиковых отложений с трещинно-карстовыми водами. С закарствованными и трещиноватыми, преимущественно карбонатными породами нижнего ордовика связаны источники, выходящие в долине рек Муки и Улахан-Синильгес. Дебиты этих источников незначительные и не превышают 1-2 л/с. Воды гидрокарбонатно-кальциевые с минерализацией 55-66 мг/л. Химический состав их определяется по формуле Курлова:



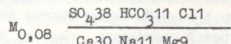
(р.Улахан-Синильгес,
проба 496).

Водоносный комплекс верхнекембрейских отложений с трещинно-пластовыми водами. Выходы источников этих вод приурочены к участкам распространения отложений верхнего кембрая, где водоносные горизонты выходят на поверхность, создавая тем самым благоприятные условия для разгрузки этих вод. Слабый нисходящий источник этих вод расположен в долине р.Тайон-Уята. Воды источника принадлежат к группе гидрокарбонатно-кальциевых с минерализацией до 300 мг/л и почти равным содержанием ионов Ca и HCO₃. Повышенная минерализация вод связана с выщелачиванием вмещающих пород. Химический состав воды определяется по формуле Курлова:



(проба I398).

Водоносный комплекс нижнекембрейских отложений с трещинно-пластовыми и трещинно-карстовыми водами имеет ограниченное распространение. Источники их известны в долине р.Текес и Аллара-Ходусалах. Солевой состав вод характеризуется значительным преобладанием сульфатов и бикарбонатов щелочных земель. Общая минерализация сульфатных вод составляет 80 мг/л. Сравнительно высокая минерализация и химический состав связаны с дренажем более глубоко залегающих сульфатных пород. Формула Курлова для сульфатных вод имеет вид:



(проба 370).

Все воды характеризуют зону свободного водообмена. Для водоснабжения могут быть использованы поверхностные воды рек и озер. Подземные воды для этого непригодны из-за их незначительного дебита.

ЛИТЕРАТУРА

Опубликованная

1. Анисимова П.П. Химический состав подземных и поверхностных вод и некоторые закономерности его изменения в районе среднего течения реки Лены. Якутск, 1959.

2. Бабаян Г.Д., Бархатов Г.В., Васильев В.Г. и др. Геологическое строение и нефтегазоносность Якутской АССР. Гостоптехиздат, 1960.

3. Басков Е.А. Новые данные о подземных водах бассейна р.Ном в Восточной Сибири. - Информ. сб. ВОСГИ, 1962, № 56.

4. Бобров А.К. Геология Предбайкальского краевого прогиба. Наука, 1964.

5. Зегебарт Д.К. К стратиграфии и тектонике древнего палеозоя и мезозоя р.Лены и Ном. - Тр. нефтяного института. Серия А. вып. 84. 1933.

6. Корнугова Е.И., Краснов И.И., Масайтис В.Л. Геологическая карта СССР масштаба 1:500 000 (бассейн р. Видяя и Оленекско-Видяйского водораздела). Объяснительная записка. Госгеотехиздат, 1958.
7. Комар В.А., Чумаков Н.М. Средне- и верхнепалеозойские отложения западной части Видяйской впадины. - Изв. АН СССР, сер. геол., 1957, № 4.
8. Коркуев С.С. Геоморфология долины средней Лены и прилегающих районов. Изд-во АН СССР, 1959.
9. Масайтис В.Л. Среднепалеозойская трапповая формация на Сибирской платформе. - ДАН СССР, т. 162, 1965, № 3.
10. Михайлов М.В., Филитов В.Ф. К вопросу о возрасте Кемпинской и Ныгматинской впадин и Сунтарского по-гребенчатого гората. - Геология и геофизика, 1965, № 7.
11. Михайлов М.В. Тектоника и история формирования палеозойских структур юго-западной Якутии. Автореф. дис., 1969.
12. Никифорова О.И. Новые данные по стратиграфии ордовика силура Сибирской платформы. - Мат-лы ВСЕГЕИ, новая серия, вып. 7, 1955.
13. Никифорова О.И., Андреева О.Н. Стратиграфия ордовика и силура Сибирской платформы и палеонтологическое обоснование. Гостоптехиздат, 1961.
14. Обручев В.А. Геология Сибири. Т. I-III. Изд-во АН СССР, 1938-1939.
15. Обручев В.А. История геологического исследования Сибири. Пермод I-IV. Изд-во АН СССР. 1931-1946.
16. Покровская Н.В. Стратиграфия кембрийских отложений юга Сибирской платформы. - Вопросы геологии Азии, т. I, 1954.
17. Рюансницкий А.Г. Краткий очерк о геологических исследованиях в бассейне Видяя и Лены. Зап. минералог. об-ва, сер. 2, ч. 51, вып. I, 1918.
18. Суворова Н.П. О ленском ярусе нижнего кембрия Якутии. - Вопросы геологии Азии, т. I, 1954.
19. Чумаков Н.М. Стратиграфия и тектоника юго-западной части Видяйской синеклизы. Тектоника СССР, т. 4. Госгеотехиздат, 1959.
20. Шатский Н.С. Основные черты тектоники Сибирской платформы. - Бюлл. МОИИ отд. геол. X, вып. 3-4, 1932.

Фондовая х/

21. Андрусенко Б.М., Бок Г.И. и др. Отчет о работе Верхне-Джербинской гравиметрической партии № 3/63-64 за 1964 г. 1965.
22. Бархатов Г.В., Бархатова М.В. Основной отчет по работам Мухтуйской геологопоисковой партии. 1948.
23. Бархатов Г.В., Бархатова М.В. Окончательный отчет по работам Нойской геологосъемочной партии. 1949.
24. Басков Е.А. Отчет Лено-Видяйской гидрогеологической партии Восточно-Сибирской экспедиции ВСЕГЕИ по работам 1953-1954 гг. 1954.
25. Бабушкин Б.В., Кутузова Т.С. Отчет о результатах аэромагнитной съемки масштаба 1:200 000, проведенной партией № 4 в 1957 г. на территории Ленского, Норбинского и других районов. 1958.
26. Белов В.В. и др. Геологическое описание бассейна р. Видяя и левобережья р. Лены. Сводный отчет партии по съемке масштаба 1:1 000 000 в 1951 г. 1952.
27. Блюменцвайг В.И., Кутузова Т.С. Отчет о работах Якутской аэромагнитной партии № 15/64, выполненных на территории Якутской АССР в 1959 г.
28. Вильсон Ф.Ф. Отчет денифицированной партии № 151 по работам 1955 г. на Лено-Видяйском водоразделе в бассейнах рек Ной и Улахан-Ботуоба. 1956.
29. Гогина Н.И. и др. Материалы к Государственной геологической карте СССР масштабе 1:1 000 000. Геологическое строение среднего течения р. Лены и нижнего течения р. Патом (южная часть листа Р-50 и северная часть листа О-50). 1954.
30. Жмыжкова Ж.К. Геологическое строение нижнего течения р. Улахан-Мурбай и Лено-Нойского водораздела (лист Р-50-ХХV). Отчет о работе Нижне-Мурбайской геологосъемочной партии № 2/60 за 1960 г. 1961.
31. Журавлев З.А., Чумаков Н.М. Геологический очерк северной окраини Байкальской складчатой зоны. 1953.
32. Журавлев З.А. Нижне- и верхнесибирские отложения бассейна р. Видяйчан. 1950.

х/ Хранится в геологическом фонде Якутского ШО.

33. Корнутова Е.И., Вильсон Ф.Ф. и др. Отчет тематической партии № 156 по работам 1954 г. в бассейне среднего течения р. Видой. 1955.

34. Михайлов М.В., Тимофеев С.А. Объяснительная записка к геологической карте СССР масштаба 1:200 000, лист Р-50-ХХУ. 1965.

35. Нарабцев Ю.С., Михайлов М.В. Геологическое строение и перспективы нефтегазоносности Видойско-Нийского междуречья. Отчет по теме: "Перспективы и оценка нефтегазоносности Мало-Ботубинского района". 1962.

36. Никонова З.Г., Панарин В.П. и др. Отчет о сейсморазведочных работах МОВ на Бурбайской площади (Мурбайская сейсморазведочная партия № I/67-68).

37. Никфорова О.И., Разумовская Е.Э., Анидреева О.Н. Сопоставление разрезов нижнего палеозоя по бассейнам рек Видюя, Джербя и нижнего течения р. Ния. 1951.

38. Олешко В.М., Бородин Л.А. Геологическое строение правобережья р. Видяй в бассейне р. Тэнкенская Ничуку. Отчет Верхне-Джербинской геологосъемочной партии № 4/61. 1962.

39. Олешко В.М. и др. Материалы к Государственной геологической карте СССР масштаба 1:200 000 (южная половина листа Р-50-ХХ). Отчет Верхне-Джербинской геологосъемочной партии № 4/61 по работам 1962 г. 1963.

40. Отиюков Н.И., Рудницкий Н.И. Геология, морфология и перспективы алмазоносности бассейна р. Мал. Мурбай. Отчет по полевым работам партии № 205 за 1955 г. 1956.

41. Семеников А.Д., Ингеров Н.И. Геологическое строение бассейнов рек Мал. Мурбай и Мал. Ботубия в их верхнем течении. Отчет Верхне-Мурбайской геологосъемочной партии № I/60 по работам 1960 г. 1961.

42. Страхов Б.И. Отчет комплексной Видойской геофизической партии за 1958 г. 1959.

43. Тимофеев С.А. Геологическое строение Лено-Нийского междуречья (южная половина листа Р-50-ХХУ). 1962.

44. Тимофеев С.А. Геологическое строение между-речья Очтугуй-Мурбай-Джутур. (северная половина листа Р-50-ХХУ). 1963.

45. Ушаков А.И. и др. Геологическое строение бассейна рек Бетинче и Видойчан (лист Р-50-ХХ). 1961.

46. Файнштейн Г.Х. Геология и алмазоносность бассейна верхнего и среднего течения р. Видюя. 1949.

47. Чуркин П.А. Отчет о результатах работ на Мурбайской и Суларской структурах за 1962-1965 гг. г. Мирный, 1965.

Приложение I

СПИСОК НЕПРОМЫШЛЕННЫХ МЕСТОРОЖДЕНИЙ ПОЛЕЗНЫХ ИСКОПАЕМЫХ, ПОКАЗАННЫХ НА ЛИСТЕ Р-50-ХХ КАРТЫ ПОЛЕЗНЫХ ИСКОПАЕМЫХ МАСШТАБА 1:200 000

Индекс клетки на карте	№ на карте	Вид полезного ископаемого и наименование месторождения	Ссылка на литературу (номер по списку)
I	IV-3	СТРОИТЕЛЬНЫЕ МАТЕРИАЛЫ Известняк р. Бетинче	31
I	II-1	Пески строительные р. Минах-Юрях	31

Справочник по геологии и гидрогеологии Краснодарского края и юга Ставропольского края. Том I. Геология и гидрогеология юга Краснодарского края и юга Ставропольского края. Учебно-методическое пособие для студентов высших учебных заведений и аспирантов геолого-разведочных и гидрогеологических кафедр. Учебно-методическое пособие для студентов геолого-разведочных и гидрогеологических кафедр высших учебных заведений и аспирантов геолого-разведочных кафедр вузов ЮФО по Рекомендации научно-исследовательской группы по геологии и гидрогеологии ЮФО Академии наук СССР. Административный орган по изданию и распространению научной литературы Академии наук СССР - Ученый совет Академии наук СССР. Ученый совет Академии наук СССР по геологии и гидрогеологии ЮФО Академии наук СССР. Ученый совет Академии наук СССР по геологии и гидрогеологии ЮФО Академии наук СССР. Ученый совет Академии наук СССР по геологии и гидрогеологии ЮФО Академии наук СССР.

Издательство Ученых Академии наук СССР
Адрес редакции: 117312, Москва, проспект Вернадского, 28а. Телефон: 9-561.

М. С. Калашников, главный редактор А. А. Георгиевский
отв. редакторы: А. Н. Борисов, Г. А. Григорьев, А. А. Денисов
Ответственный секретарь А. А. Григорьев, Г. А. Григорьев, А. А. Денисов

В брошюре пронумеровано 40 стр.
На обложке и в титульном листе изображены картины из Азии и Африки.

Издательство Ученых Академии наук СССР, Г. А. Григорьев,
отв. редакторы А. Н. Борисов, Г. А. Григорьев, А. А. Денисов
Формат 60x90/16. Тираж 198 экз. Цена 818 с.

Книга издана в соответствии с планом разработки
литературы по геологии и гидрогеологии ЮФО Академии наук СССР
и в соответствии с планом разработки гидрогеологической информации
ЮФО Академии наук СССР по геологии и гидрогеологии ЮФО Академии наук СССР.

Редактор И.С.Дудорова
Технический редактор С.К.Леонова
Корректор С.Г.Воронина

Сдано в печать 27.05.81. Подписано к печати 21.03.84.

Тираж 198 экз. Формат 60x90/16 Печ.л.2,5 Заказ 818с

Центральное специализированное
производственное газорасчетное предприятие
объединения "СоюзгеоМонд"

Справочник по геологии и гидрогеологии юга Краснодарского края и юга Ставропольского края. Том I. Геология и гидрогеология юга Краснодарского края и юга Ставропольского края. Учебно-методическое пособие для студентов высших учебных заведений и аспирантов геолого-разведочных и гидрогеологических кафедр вузов ЮФО по Рекомендации научно-исследовательской группы по геологии и гидрогеологии ЮФО Академии наук СССР. Административный орган по изданию и распространению научной литературы Академии наук СССР - Ученый совет Академии наук СССР. Ученый совет Академии наук СССР по геологии и гидрогеологии ЮФО Академии наук СССР. Ученый совет Академии наук СССР по геологии и гидрогеологии ЮФО Академии наук СССР.